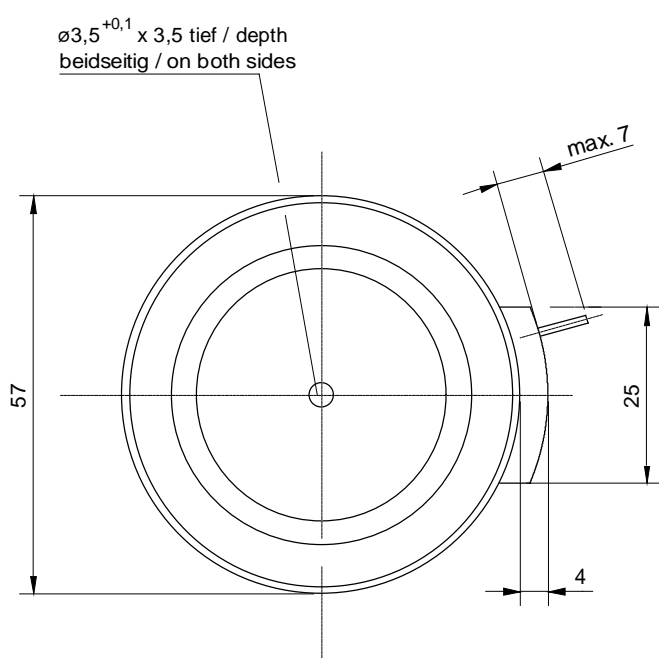
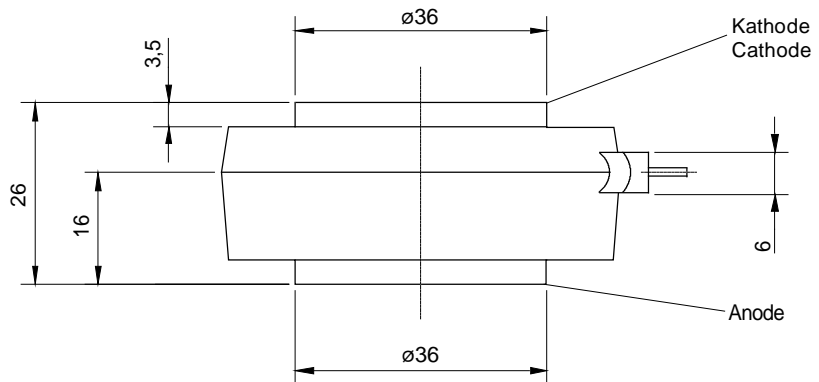


European Power-
Semiconductor and
Electronics Company
GmbH + Co. KG

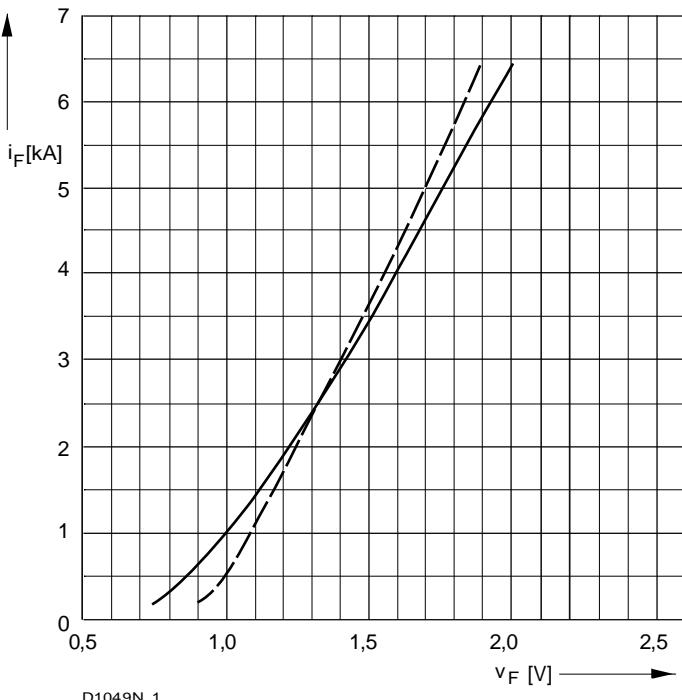
Leistungsgleichrichterdioden Power Rectifier Diodes D 1049 N



D 1049 N

Elektrische Eigenschaften	Electrical properties					
Höchstzulässige Werte	Maximum rated values					
Periodische Spitzensperrspannung	repetitive peak reverse voltage	$t_{vj} = -40^{\circ}\text{C} \dots t_{vj \max}$	V_{RRM}	800, 1200	V	
				1400, 1800	V	
Stoßspitzensperrspannung	non-repetitive peak reverse voltage	$t_{vj} = +25^{\circ}\text{C} \dots t_{vj \max}$	$V_{RSM} = V_{RRM}$	+ 100	V	
Durchlaßstrom-Grenzeffektivwert	RMS forward current		I_{FRMSM}	2,59	kA	
Dauergrenzstrom	mean forward current	$t_c = 130^{\circ}\text{C}$	I_{FAVM}	1,05	kA	
		$t_c = 86^{\circ}\text{C}$		1,65	kA	
Stoßstrom-Grenzwert	surge forward current	$t_{vj} = 25^{\circ}\text{C}, t_p = 10 \text{ ms}$	I_{FSM}	24	kA	
		$t_{vj} = t_{vj \max}, t_p = 10 \text{ ms}$		18,5	kA	
Grenzlastintegral	$I^2 t$ -value	$t_{vj} = 25^{\circ}\text{C}, t_p = 10 \text{ ms}$	$I^2 t$	2880	$\text{kA}^2 \text{s}$	
		$t_{vj} = t_{vj \max}, t_p = 10 \text{ ms}$		1710	$\text{kA}^2 \text{s}$	
Charakteristische Werte	Characteristic values					
Durchlaßspannung	on-state voltage	$t_{vj} = t_{vj \max}, i_F = 5 \text{ kA}$	V_T	max.	1,76	V
Schleusenspannung	threshold voltage	$t_{vj} = t_{vj \max}$	$V_{T(TO)}$		0,81	V
Ersatzwiderstand	slope resistance	$t_{vj} = t_{vj \max}$	r_T		0,17	$\text{m}\Omega$
Sperrstrom	reverse current	$t_{vj} = t_{vj \max}, V_R = V_{RRM}$	i_R	max.	60	mA
Thermische Eigenschaften	Thermal properties					
Innerer Widerstand	thermal resistance, junction to case	beidseitig/two-sided, $\Theta = 180^{\circ} \text{ sin}$	R_{thJC}	max.	0,038	$^{\circ}\text{C/W}$
		beidseitig/two sided, DC		max.	0,035	$^{\circ}\text{C/W}$
		Anode/anode, $\Theta = 180^{\circ} \text{ sin}$		max.	0,064	$^{\circ}\text{C/W}$
		Anode/anode, DC		max.	0,061	$^{\circ}\text{C/W}$
		Kathode/cathode, $\Theta = 180^{\circ} \text{ sin}$		max.	0,085	$^{\circ}\text{C/W}$
		Kathode/cathode, DC		max.	0,082	$^{\circ}\text{C/W}$
Übergangs-Wärmewiderstand	thermal resistance,case to heatsink	beidseitig /two-sided einseitig /single-sided	R_{thCK}	max.	0,005	$^{\circ}\text{C/W}$
				max.	0,010	$^{\circ}\text{C/W}$
Höchstzul.Sperrsichttemperatur	max. junction temperature		$t_{vj \max}$		180	$^{\circ}\text{C}$
Betriebstemperatur	operating temperature		$t_{c op}$		-40...+150	$^{\circ}\text{C}$
Lagertemperatur	storage temperature		t_{stg}		-40...+150	$^{\circ}\text{C}$
Mechanische Eigenschaften	Mechanical properties					
Si-Element mit Druckkontakt	Si-pellet with pressure contact	$\emptyset = 36 \text{ mm}$				
Anpreßkraft	clamping force	Gehäuseform/case design T	F		10...24	kN
Gewicht	weight		G	typ.	280	g
Kriechstrecke	creepage distance				36	mm
Feuchtekategorie	humidity classification	DIN 40040				C
Schwingfestigkeit	vibration resistance	$f = 50 \text{ Hz}$			50	m/s^2
Maßbild	outline					Seite/page

D 1049 N



Bild/Fig. 1
Grenzdurchlaßkennlinie
Limiting forward characteristic $i_F = f(v_F)$
 $\text{--- } t_{vj} = 180 \text{ } ^\circ\text{C}$
 $\text{--- } t_{vj} = 25 \text{ } ^\circ\text{C}$

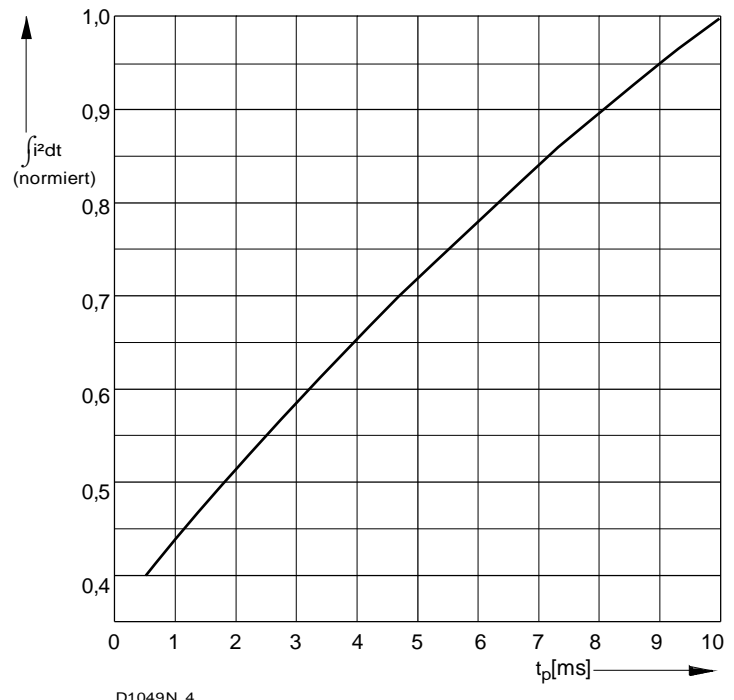


Bild / Fig. 2
Normiertes Grenzlastintegral / Normalized $\int i^2 dt$
 $\int i^2 dt = f(t_p)$

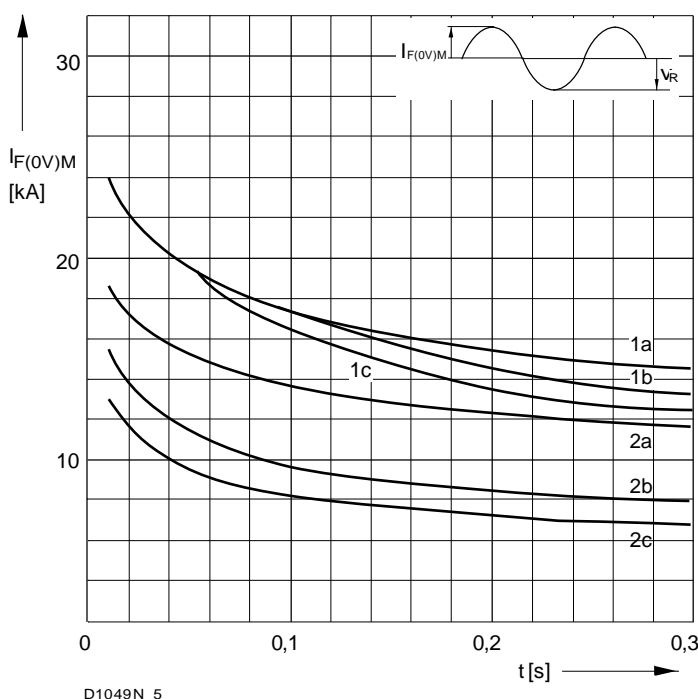


Bild / Fig. 3
Grenzstrom / Maximum overload forward current $I_F(0V)M = f(t)$
1 - $I_{FAV(\text{vor})} = 0 \text{ A}; t_{vj} = t_c = 25 \text{ } ^\circ\text{C}$
2 - $I_{FAV(\text{vor})} = 1050 \text{ A}; t_c = 130 \text{ } ^\circ\text{C}; t_{vj} = 180 \text{ } ^\circ\text{C}$
a - $VR \leq 50 \text{ V}$
b - $VR = 0,5 \text{ V RRM}$
c - $VR = 0,8 \text{ V RRM}$

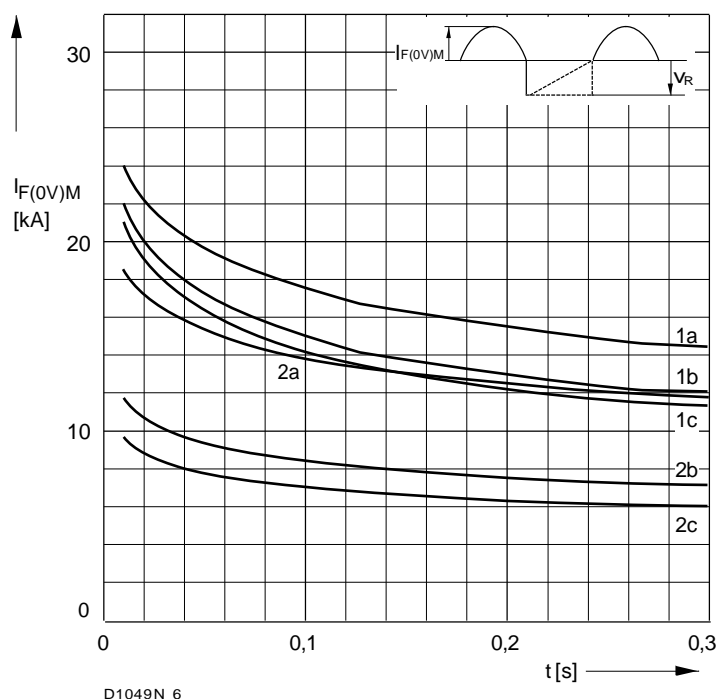


Bild / Fig. 4
Grenzstrom / Maximum overload forward current $I_F(0V)M = f(t)$
1 - $I_{FAV(\text{vor})} = 0 \text{ A}; t_{vj} = t_c = 25 \text{ } ^\circ\text{C}$
2 - $I_{FAV(\text{vor})} = 1050 \text{ A}; t_c = 130 \text{ } ^\circ\text{C}; t_{vj} = 180 \text{ } ^\circ\text{C}$
a - $VR \leq 50 \text{ V}$
b - $VR = 0,5 \text{ V RRM}$
c - $VR = 0,8 \text{ V RRM}$

D 1049 N

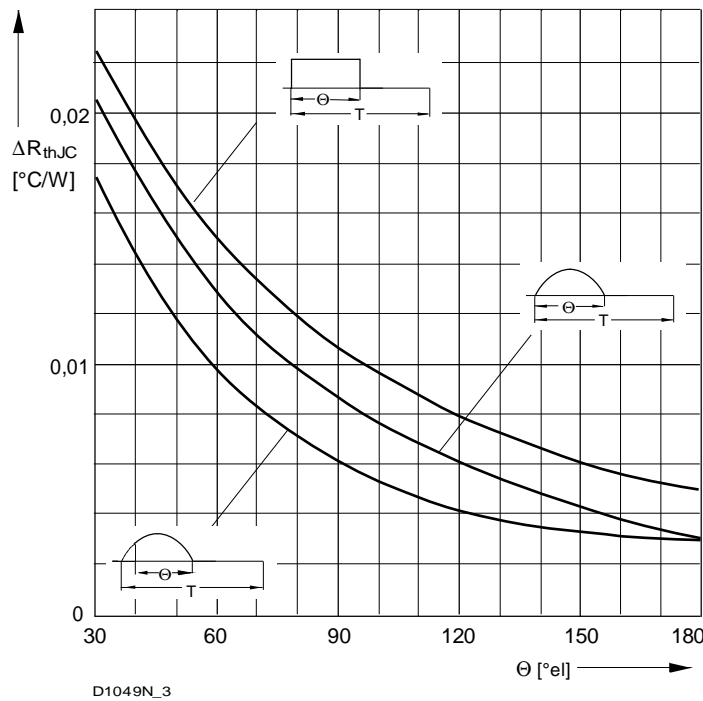


Bild / Fig. 5
Differenz zwischen den Wärmewiderständen
für Pulsstrom und DC
Difference between the values of thermal resistance for
pulse current and DC
Parameter: Stromkurvenform / Current waveform

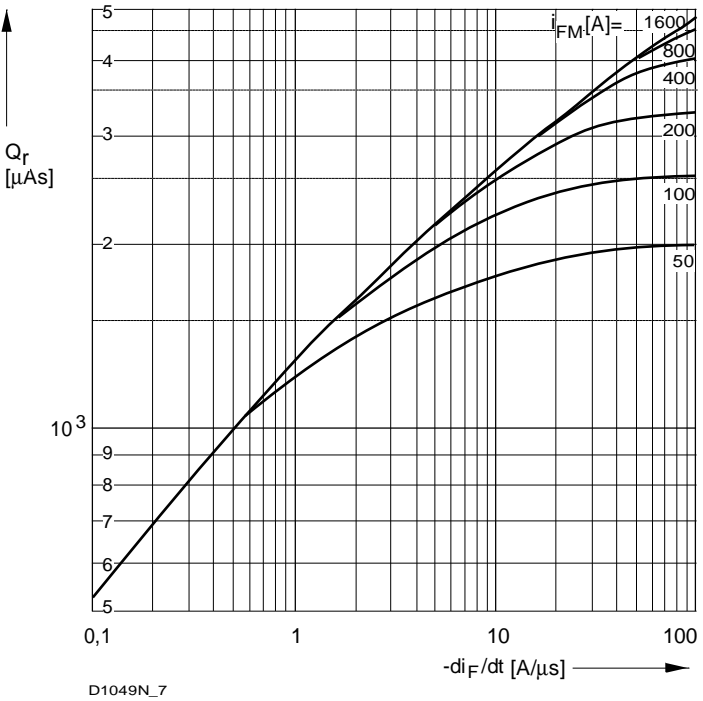


Bild / Fig. 6
Sperrverzögerungsladung / Recovered charge $Q_r = f(-di_F/dt)$
 $t_{vj} = t_{vjmax}$; $VR \leq 0,5 V_{RRM}$; $V_{RM} = 0,8 V_{RRM}$
Beschaltung / Snubber: $C = 1 \mu F$; $R = 3,9 \Omega$
Parameter: Durchlaßstrom / Forward current i_{FM}

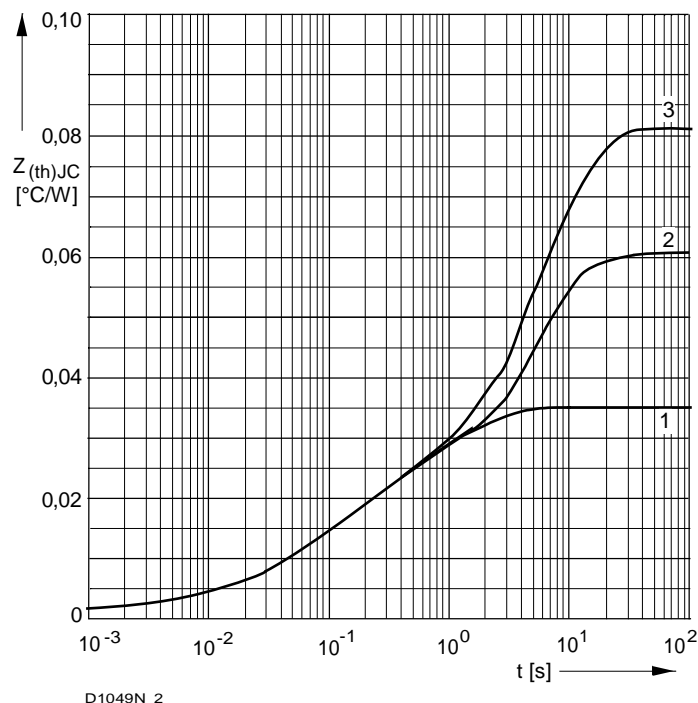


Bild / Fig. 7
Transienter innerer Wärmewiderstand
Transient thermal impedance $Z_{thJC} = f(t)$, DC
1 - Beidseitige Kühlung / Two-sided cooling
2 - Anodenseitige Kühlung / Anode-sided cooling
3 - Kathodenseitige Kühlung / Cathode-sided cooling

Analytische Elemente des transientes Wärmewiderstandes Z_{thJC} für DC
Analytical elements of transient thermal impedance Z_{thJC} for DC

Kühlg. Cooling	Pos. n	1	2	3	4	5	6	7
1	$R_{thn} \text{ °C/W}$	0,000008	0,000782	0,00342	0,00369	0,0131	0,014	
	$\tau_n \text{ [s]}$	0,00002	0,000583	0,00336	0,0458	0,173	0,999	
2	$R_{thn} \text{ °C/W}$	0,000008	0,000772	0,00339	0,0028	0,01713	0,0369	
	$\tau_n \text{ [s]}$	0,00002	0,000581	0,00333	0,0381	0,182	5,83	
3	$R_{thn} \text{ °C/W}$	0,000008	0,00052	0,00305	0,00184	0,0169	0,00538	0,0543
	$\tau_n \text{ [s]}$	0,00002	0,000479	0,00254	0,0163	0,146	6,65	6,82

- 1 - Beidseitige Kühlung / Two-sided cooling
- 2 - Anodenseitige Kühlung / Anode-sided cooling
- 3 - Kathodenseitige Kühlung / Cathode-sided cooling

Analytische Funktion / Analytical function

$$Z_{thJC} = \sum_{n=1}^{n_{\max}} R_{thn} (1 - \text{EXP}(-t/\tau_n))$$